

## $3 \times 10^{12} \text{ s}^{-1}$ 强中子发生器后分析系统调试结果

朴禹伯 牛占歧 陈 勤 苏桐龄

(兰州大学原子核研究所, 730001)

**关键词** 后分析磁铁, 中子产额, 靶寿命。

### 一、引言

兰州大学强中子发生器于 1988 年通过部级鉴定, 氚离子束达 30 mA, 中子产额达  $3 \times 10^{12} \text{ s}^{-1}$ 。然而, 由于它是采用混合离子束, 靶寿命只有十几个小时。

在聚变堆第一壁材料研究中, 要求的累计中子注量超过  $10^{17} \text{ cm}^{-2}$ 。因此, 辐照时间需几百小时。因为氚靶价格昂贵, 用混合离子束进行材料辐照损伤研究, 其费用是很高的。

影响靶寿命的因素除靶本身的特性、转速、冷却水流状况等之外, 主要是束流中的重离子和双原子、三原子成分。要从根本上提高靶寿命, 必须采用分析束, 只让单原子束打在靶上产生中子。

根据现有我校中子厅的大小和实验条件, 设计安装了 30° 后分析磁铁, 使氢离子分析束达到 24 mA 以上。这样, 在基本保持现有中子产额的情况下, 靶寿命可提高 10 倍以上, 产生巨大的经济效益。

### 二、后分析磁铁的主要参数

为保证氚靶在实验室中的适当位置, 减少中子散射, 根据现有中子实验厅的大小 ( $7 \text{ m} \times 10 \text{ m}$ ), 选取磁铁偏转角度为 30°。由于加速管地电极后设有空间电荷透镜, 分析磁铁前后有强四极透镜, 较容易在靶位置上形成束腰。整机安排如图 1 所示。分析磁铁的主要参数是:

偏转半径: 0.6 m; 偏转角度: 30°; 中心平面磁场强度: 0.186 T; 磁铁间隙: 8 cm; 中心轨道附近 ( $\pm 3 \text{ cm}$ ) 磁场不均匀度  $< 0.5\%$ 。

磁场强度在 0~0.24 T 范围内随磁场电流的变化是线性的。因此, 可在线性变化的范围内, 对  $\text{H}_1^+$ 、 $\text{H}_2^+$ 、 $\text{H}_3^+$  等 3 种离子束进行分析。

### 三、实验结果与分析

束流的测量仍采用法拉弟筒, 同时测量电流和水温, 通过比较确认正确的束流<sup>[1]</sup>。单原子

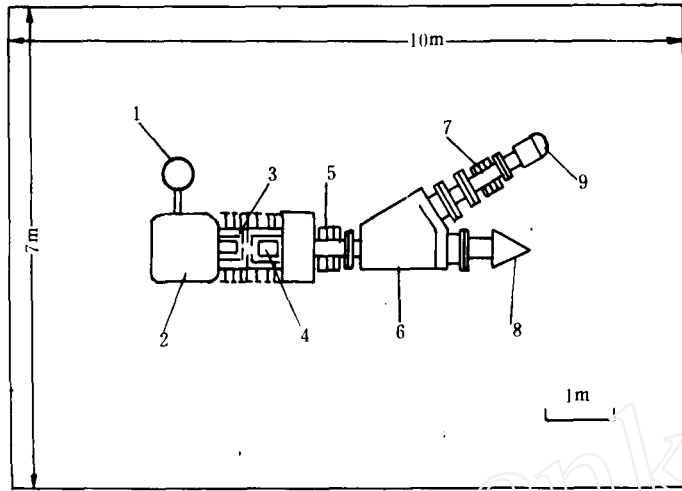


图 1  $3 \times 10^{12} \text{ s}^{-1}$  强中子发生器平面图

Fig. 1 Layout of the  $3 \times 10^{12} \text{ s}^{-1}$  intense neutron generator

1 高压电源; 2 高压头; 3 加速管; 4 空间电荷透镜; 5  
重四极透镜; 6 分析磁铁; 7 重四极透镜; 8 法拉第筒; 9  
速旋转靶。

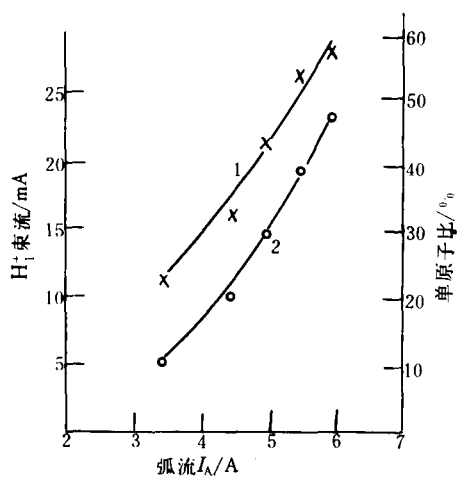


图 2 单原子束流随弧流的变化

Fig. 2 Curves of current on target vs arc current

of the duoplasmatron ion source

1  $H^+$  束流; 2  $H^+$  单原子比。

氢离子束随弧流的变化如图 2 所示。光弧流 6A 时,  $H^+$  束达到 24 mA, 单原子比为 56%。如果弧流进一步提高, 单原子束流还能提高。弧流比较低时, 单原子比亦较低。

扩散杯工作状态对单原子比影响很大<sup>[2]</sup>。该器的离子源扩散杯是悬浮状态。由于磁场分量垂直入射扩散杯, 等离子体中的电子郁集在扩散杯上, 形成负压。从而等离子体中的电子来回振荡, 使单原子比提高。我们测得扩散杯的电位约 -40 ~ -50V。

对 3 种离子束的分析结果是由 X-Y 记录仪记录的。X 轴即为分析磁铁电流, Y 轴即为束流。测量结果如图 3 所示。

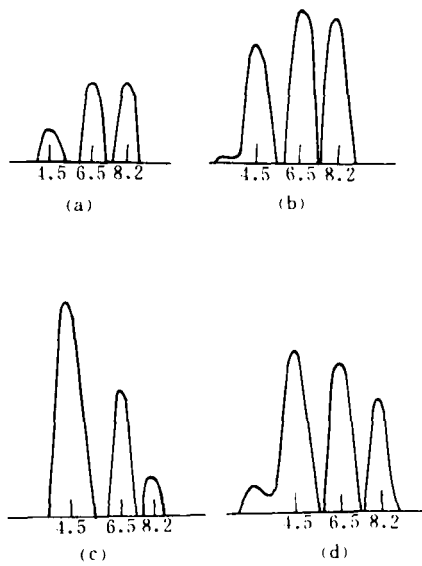


图 3 氢离子束质谱

Fig. 3 Mass spectra of  $H^+$  ion beam

(a)  $I_A = 2\text{A}$ , 离子能量 267 keV; (b)  $I_A = 3.5\text{A}$ , 离子能量 267 keV; (c)  $I_A = 6\text{A}$ , 离子能量 267 keV; (d)  $I_A = 4.5\text{A}$ , 离子能量 267 keV,  $p = 6.7 \times 10^{-3} \text{ Pa}$ 。

图3中的(a)(b)(c)分别表示弧流为2、3.5和6A时3种束流测量结果。而(d)是弧流4.5A时的测量结果,但气压较低,  $p = 6.7 \times 10^{-3}$  Pa。这时,在单原子峰前面出现小峰。这是由于束流与气体碰撞而形成低能离子的缘故。

束流的进一步提高将受到加速管负载能力和加速管-离子源匹配特性的限制。而单原子比的进一步提高是比较困难的。我们提出新的设想,即在空间电荷透镜区注入不同能量的电子,使双原子解离,目前已在解决这一问题。

## 参 考 文 献

- [1] 朴禹伯等,原子能科学技术,25(2),45(1991)。
- [2] Bacon, F. M., Rev. Sci. Instrum., 49(4),(1978).

(编辑部收到日期:1991年5月15日)

## POST ANALYZING MAGNET SYSTEM FOR $3 \times 10^{12} \text{ s}^{-1}$ INTENSE NEUTRON GENERATOR

PIAO YUBO NEU ZHANQI CHEN QIN SU TONGLING

(Institute of Nuclear Research, Lanzhou University, P. O. Box 44, 730001)

### ABSTRACT

The post analyzing magnet system for  $3 \times 10^{12} \text{ s}^{-1}$  intense neutron generator is described. 24 mA of  $\text{H}_3^+$  ion beam are reached at target. The life time of target is increased about 10 times for the same neutron yield.

**Key words** Post analyzing magnet, Neutron yield, Life time of target.